



S-5742 B系列

工作温度125°C 高耐压 高速
交变检测型 霍尔IC

www.sii-ic.com

© SII Semiconductor Corporation, 2016

Rev.2.1_00

本IC是采用CMOS技术开发的高耐压、高速检测、高精度磁特性交变检测型的霍尔IC。可通过检测磁束密度的强弱以及极性变化，使输出电压发生变化。通过与磁石的组合，可对各种设备的翻转进行检测。本IC还内置了输出电流限制电路。

本IC由于采用了插入型的TO-92S封装，因此可用于各种机械构造。还具备高精度磁特性，故与磁石组合的机械构造的工作偏差可变少。

本公司可根据用户的机械构造推荐磁石与本公司霍尔IC的最佳组合，为用户提供“磁力模拟分析服务”。通过灵活应用此磁力模拟分析服务，可削减试产次数、开发周期和开发费用，为实现最优化产品更高的性能价格比做出贡献。有关磁力模拟分析服务的实施详情，请向本公司营业部咨询。

■ 特点

- | | |
|--------------------------|--|
| • 极性检测 : | 交变检测 |
| • 磁性检测逻辑 ^{*1} : | 检测S极时V _{OUT} = "L"
检测S极时V _{OUT} = "H" |
| • 输出方式 ^{*1} : | N沟道开路漏极输出
N沟道驱动器 + 内置上拉电阻 |
| • 磁性灵敏度 ^{*1} : | B _{OP} = 1.8 mT (典型值)
B _{OP} = 3.0 mT (典型值)
B _{OP} = 6.0 mT (典型值) |
| • 斩波频率 : | f _C = 500 kHz (典型值) |
| • 输出延迟时间 : | t _D = 8.0 µs (典型值) |
| • 电源电压范围 : | V _{DD} = 3.5 V ~ 26.0 V |
| • 内置稳压器 | |
| • 内置输出电流限制电路 | |
| • 工作温度范围 : | T _a = -40°C ~ +125°C |
| • 无铅 (Sn 100%)、无卤素 | |

*1. 可以选项。

■ 用途

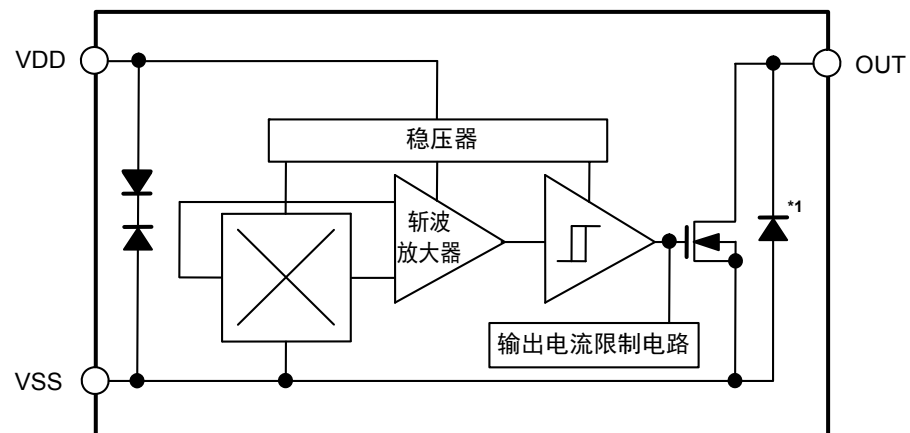
- 家用电器产品
- DC无刷电动机
- 住宅设备
- 各种产业设备

■ 封装

- TO-92S (垂直)
- TO-92S (弯曲)

■ 框图

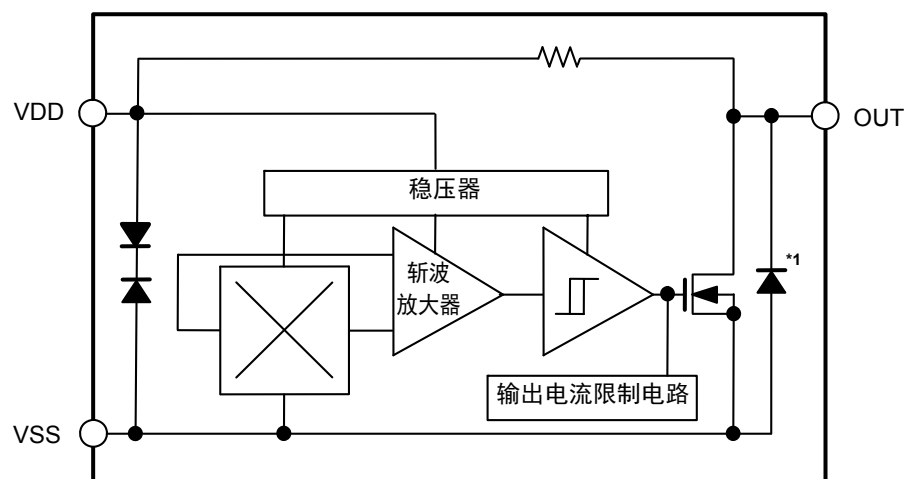
1. N沟道开路漏极输出产品



*1. 寄生二极管

图1

2. N沟道驱动器 + 内置上拉电阻产品

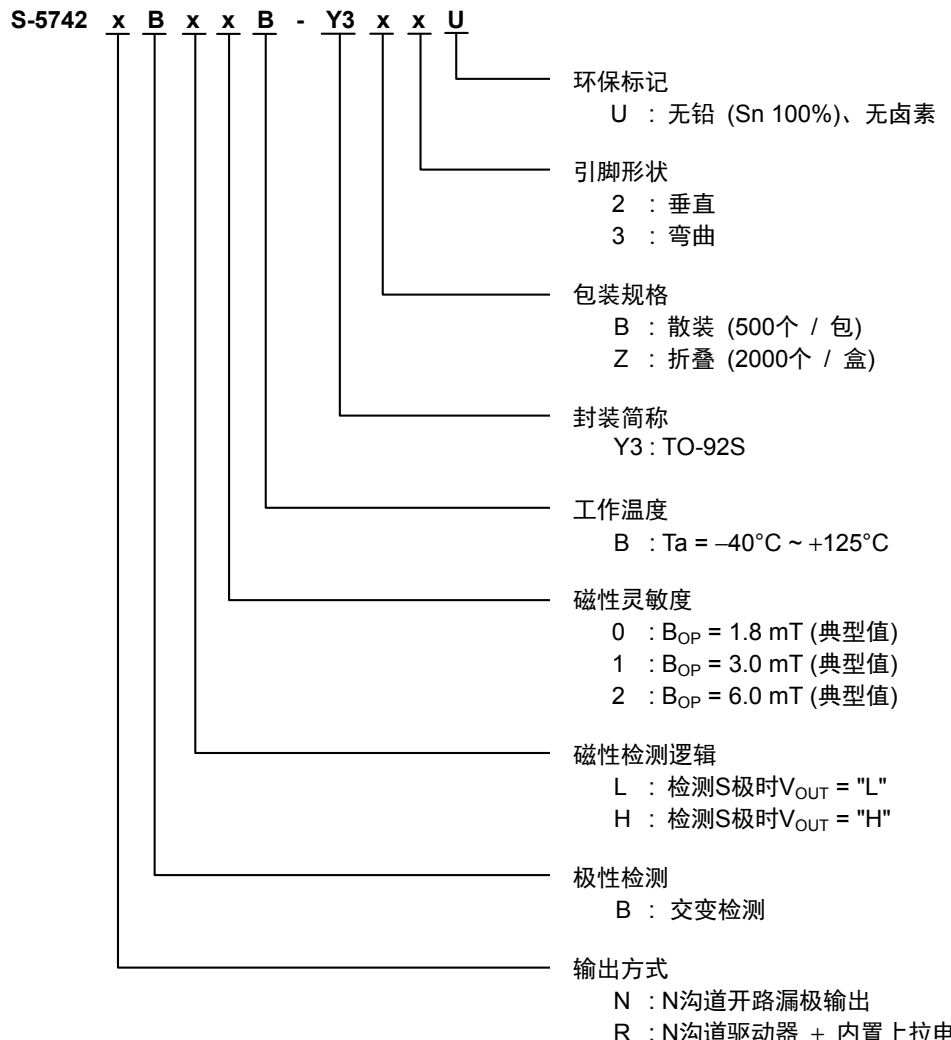


*1. 寄生二极管

图2

■ 产品型号的构成

1. 产品名



2. 封装

表1 封装图纸号码

封装名		外形尺寸图	卷带图	折叠包装图
TO-92S (垂直)	散装	YB003-A-P-SD	-	-
	折叠		YC003-A-C-SD	YC003-A-Z-SD
TO-92S (弯曲)	散装	YB003-B-P-SD	-	-
	折叠		YC003-B-C-SD	YC003-B-Z-SD

3. 产品名目录

3.1 TO-92S (垂直)

表2

产品名 ^{*1}	输出方式	极性检测	磁性检测逻辑	磁性灵敏度 (B_{OP})
S-5742NBL0B-Y3n2U	N沟道开路漏极输出	交变检测	检测S极时 $V_{OUT} = "L"$	1.8 mT (典型值)
S-5742NBL1B-Y3n2U	N沟道开路漏极输出	交变检测	检测S极时 $V_{OUT} = "L"$	3.0 mT (典型值)
S-5742NBL2B-Y3n2U	N沟道开路漏极输出	交变检测	检测S极时 $V_{OUT} = "L"$	6.0 mT (典型值)
S-5742NBH0B-Y3n2U	N沟道开路漏极输出	交变检测	检测S极时 $V_{OUT} = "H"$	1.8 mT (典型值)
S-5742NBH1B-Y3n2U	N沟道开路漏极输出	交变检测	检测S极时 $V_{OUT} = "H"$	3.0 mT (典型值)
S-5742NBH2B-Y3n2U	N沟道开路漏极输出	交变检测	检测S极时 $V_{OUT} = "H"$	6.0 mT (典型值)
S-5742RBL0B-Y3n2U	N沟道驱动器 + 内置上拉电阻	交变检测	检测S极时 $V_{OUT} = "L"$	1.8 mT (典型值)
S-5742RBL1B-Y3n2U	N沟道驱动器 + 内置上拉电阻	交变检测	检测S极时 $V_{OUT} = "L"$	3.0 mT (典型值)
S-5742RBL2B-Y3n2U	N沟道驱动器 + 内置上拉电阻	交变检测	检测S极时 $V_{OUT} = "L"$	6.0 mT (典型值)
S-5742RBH0B-Y3n2U	N沟道驱动器 + 内置上拉电阻	交变检测	检测S极时 $V_{OUT} = "H"$	1.8 mT (典型值)
S-5742RBH1B-Y3n2U	N沟道驱动器 + 内置上拉电阻	交变检测	检测S极时 $V_{OUT} = "H"$	3.0 mT (典型值)
S-5742RBH2B-Y3n2U	N沟道驱动器 + 内置上拉电阻	交变检测	检测S极时 $V_{OUT} = "H"$	6.0 mT (典型值)

*1. 根据包装规格, "n" 会有如下变化。

B : 散装、Z : 折叠

备注 如果需要上述以外的产品时, 请向本公司营业部咨询。

3.2 TO-92S (弯曲)

表3

产品名 ^{*1}	输出方式	极性检测	磁性检测逻辑	磁性灵敏度 (B_{OP})
S-5742NBL1B-Y3n3U	N沟道开路漏极输出	交变检测	检测S极时 $V_{OUT} = "L"$	3.0 mT (典型值)
S-5742NBL2B-Y3n3U	N沟道开路漏极输出	交变检测	检测S极时 $V_{OUT} = "L"$	6.0 mT (典型值)
S-5742RBH1B-Y3n3U	N沟道驱动器 + 内置上拉电阻	交变检测	检测S极时 $V_{OUT} = "H"$	3.0 mT (典型值)

*1. 根据包装规格, "n" 会有如下变化。

B : 散装、Z : 折叠

备注 如果需要上述以外的产品时, 请向本公司营业部咨询。

■ 引脚排列图

1. TO-92S

表4

引脚号	符号	描述
1	VDD	电源端子
2	VSS	GND端子
3	OUT	输出端子

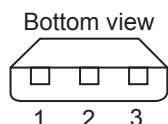
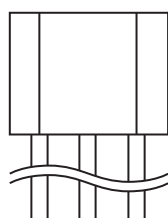


图3

■ 绝对最大额定值

表5

(除特殊注明以外 : Ta = +25°C)

项目	符号	绝对最大额定值	单位
电源电压	V _{DD}	V _{SS} - 0.3 ~ V _{SS} + 28.0	V
输出电流	I _{OUT}	20	mA
输出电压	V _{OUT}	V _{SS} - 0.3 ~ V _{SS} + 28.0	V
		V _{SS} - 0.3 ~ V _{DD} + 0.3	V
工作环境温度	T _{opr}	-40 ~ +125	°C
保存温度	T _{sta}	-40 ~ +150	°C

注意 绝对最大额定值是指无论在任何条件下都不能超过的额定值。万一超过此额定值，有可能造成产品劣化等物理性损伤。

■ 热敏电阻值

表6

项目	符号	条件	最小值	典型值	最大值	单位
结至环境热阻	θ _a	TO-92S	—	153 ^{*1}	—	°C/W

*1. 基板未安装时

备注 关于容许功耗，请参阅 "■ 封装热特性"。

■ 电气特性

表7

(除特殊注明以外 : $T_a = +25^\circ\text{C}$, $V_{DD} = 12.0 \text{ V}$, $V_{SS} = 0 \text{ V}$)

项目	符号	条件	最小值	典型值	最大值	单位	测定电路
电源电压	V_{DD}	—	3.5	12.0	26.0	V	—
消耗电流	I_{DD}	N沟道开路漏极输出产品 平均值	—	3.0	4.0	mA	1
		N沟道驱动器 + 内置上拉电阻产品 平均值, $V_{OUT} = "H"$	—	3.0	4.0	mA	1
输出电压	V_{OUT}	N沟道开路漏极输出产品 输出晶体管N沟道, $V_{OUT} = "L"$, $I_{OUT} = 10 \text{ mA}$	—	—	0.4	V	2
		N沟道驱动器 + 内置上拉电阻产品 输出晶体管N沟道, $V_{OUT} = "L"$, $I_{OUT} = 10 \text{ mA}$	—	—	0.5	V	2
输出下降电压	V_D	N沟道驱动器 + 内置上拉电阻产品 $V_{OUT} = "H"$, $V_D = V_{DD} - V_{OUT}$	—	—	20	mV	2
泄漏电流	I_{LEAK}	N沟道开路漏极输出产品 输出晶体管N沟道, $V_{OUT} = "H" = 26.0 \text{ V}$	—	—	10	μA	3
输出限制电流	I_{OM}	$V_{OUT} = 12.0 \text{ V}$	22	—	70	mA	3
输出延迟时间	t_D	—	—	8.0	—	μs	—
斩波频率	f_C	—	—	500	—	kHz	—
启动时间	t_{PON}	—	—	20	—	μs	4
输出上升时间	t_R	N沟道开路漏极输出产品 $C = 20 \text{ pF}, R = 820 \Omega$	—	—	2.0	μs	5
		N沟道驱动器 + 内置上拉电阻产品 $C = 20 \text{ pF}$	—	—	6.0	μs	5
输出下降时间	t_F	$C = 20 \text{ pF}, R = 820 \Omega$	—	—	2.0	μs	5
上拉电阻	R_L	N沟道驱动器 + 内置上拉电阻产品	7	10	13	k Ω	—

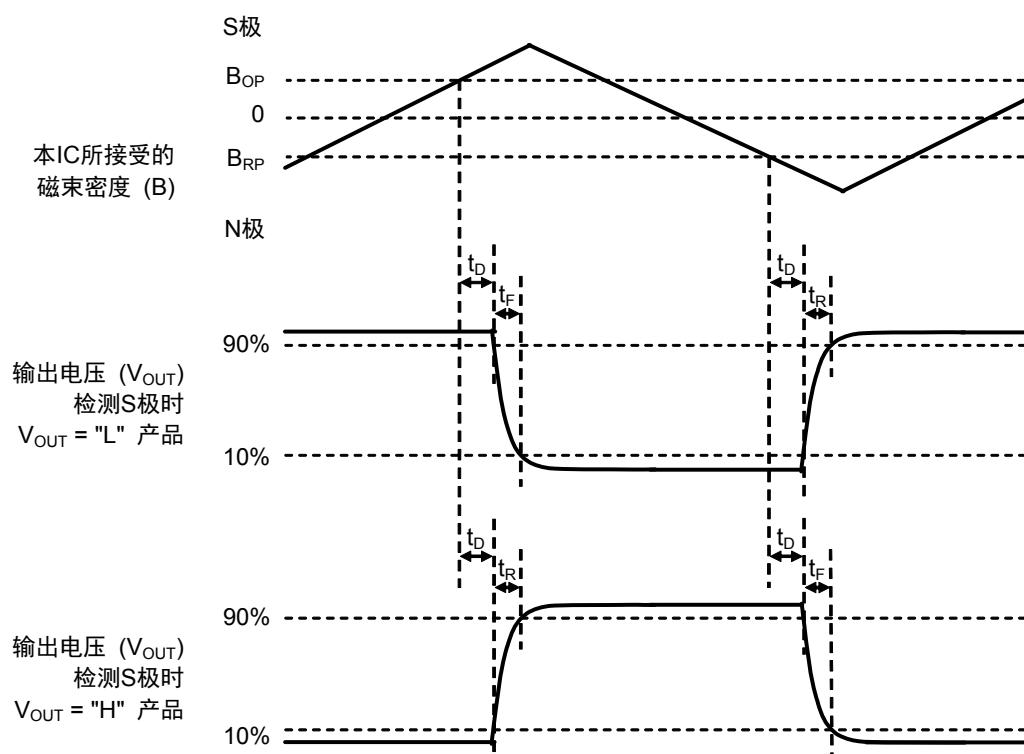


图4 工作时序

■ 磁特性

1. $B_{OP} = 1.8 \text{ mT}$ (典型值) 产品

表8

(除特殊注明以外 : $T_a = +25^\circ\text{C}$, $V_{DD} = 12.0 \text{ V}$, $V_{SS} = 0 \text{ V}$)

项目	符号	条件	最小值	典型值	最大值	单位	测定电路
工作点 ^{*1}	S极	B_{OP}	-	0.3	1.8	3.3	mT
复位点 ^{*2}	N极	B_{RP}	-	-3.3	-1.8	-0.3	mT
滞后幅度 ^{*3}		B_{HYS}	$B_{HYS} = B_{OP} - B_{RP}$	-	3.6	-	mT

2. $B_{OP} = 3.0 \text{ mT}$ (典型值) 产品

表9

(除特殊注明以外 : $T_a = +25^\circ\text{C}$, $V_{DD} = 12.0 \text{ V}$, $V_{SS} = 0 \text{ V}$)

项目	符号	条件	最小值	典型值	最大值	单位	测定电路
工作点 ^{*1}	S极	B_{OP}	-	1.5	3.0	4.5	mT
复位点 ^{*2}	N极	B_{RP}	-	-4.5	-3.0	-1.5	mT
滞后幅度 ^{*3}		B_{HYS}	$B_{HYS} = B_{OP} - B_{RP}$	-	6.0	-	mT

3. $B_{OP} = 6.0 \text{ mT}$ (典型值) 产品

表10

(除特殊注明以外 : $T_a = +25^\circ\text{C}$, $V_{DD} = 12.0 \text{ V}$, $V_{SS} = 0 \text{ V}$)

项目	符号	条件	最小值	典型值	最大值	单位	测定电路
工作点 ^{*1}	S极	B_{OP}	-	3.0	6.0	9.0	mT
复位点 ^{*2}	N极	B_{RP}	-	-9.0	-6.0	-3.0	mT
滞后幅度 ^{*3}		B_{HYS}	$B_{HYS} = B_{OP} - B_{RP}$	-	12.0	-	mT

*1. B_{OP} ：工作点

指本IC所接受的由磁石 (S极) 产生的磁束密度增强 (靠近磁石) 时, 输出电压 (V_{OUT}) 切换时的磁束密度的值。
直至施加比 B_{RP} 更强的N极磁束密度为止, V_{OUT} 会维持现状。

*2. B_{RP} ：复位点

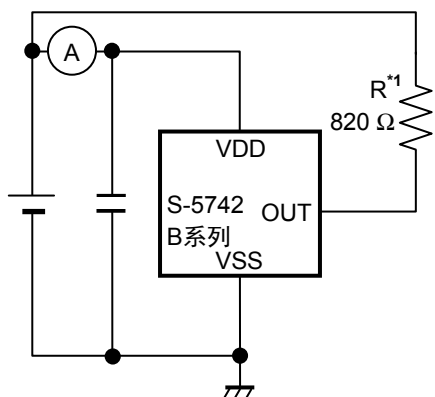
指本IC所接受的由磁石 (N极) 产生的磁束密度增强 (靠近磁石) 时, 输出电压 (V_{OUT}) 切换时的磁束密度的值。
直至施加比 B_{OP} 更强的S极磁束密度为止, V_{OUT} 会维持现状。

*3. B_{HYS} ：滞后幅度

指 B_{OP} 与 B_{RP} 之间的磁束密度的差值。

备注 按照 $1 \text{ mT} = 10 \text{ Gauss}$ 的公式换算磁束密度的单位mT。

■ 测定电路



*1. N沟道驱动器 + 内置上拉电阻产品，不需要电阻 (R)。

图5 测定电路1

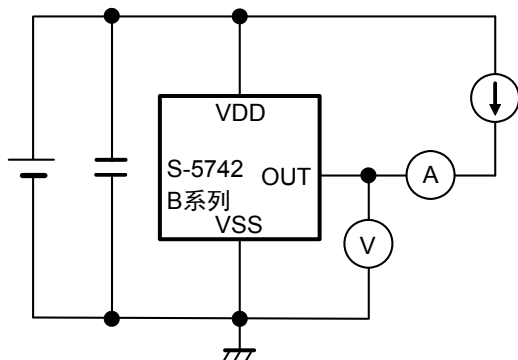


图6 测定电路2

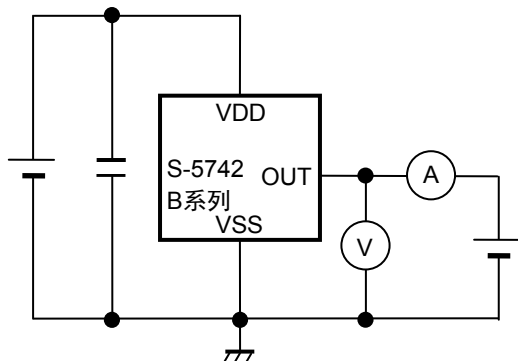
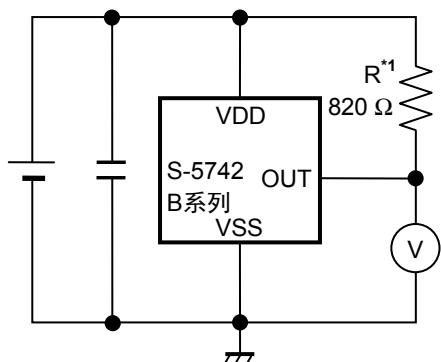
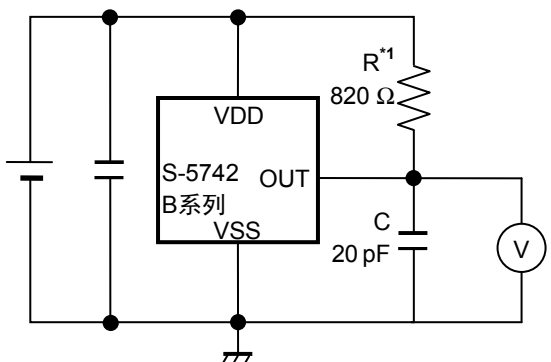


图7 测定电路3



*1. N沟道驱动器 + 内置上拉电阻产品，不需要电阻 (R)。

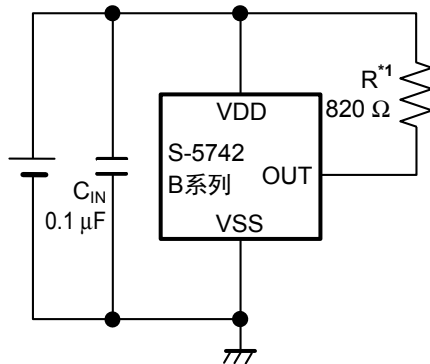
图8 测定电路4



*1. N沟道驱动器 + 内置上拉电阻产品，不需要电阻 (R)。

图9 测定电路5

■ 标准电路



*1. N沟道驱动器 + 内置上拉电阻产品，不需要电阻 (R)。

图10

注意 上述连接图以及参数并不作为保证电路工作的依据。实际的应用电路请在进行充分的实测基础上设定参数。

■ 工作说明

1. 施加磁束方向

本IC可针对标记面检测出垂直方向的磁束密度。

图11表示施加磁束的方向。

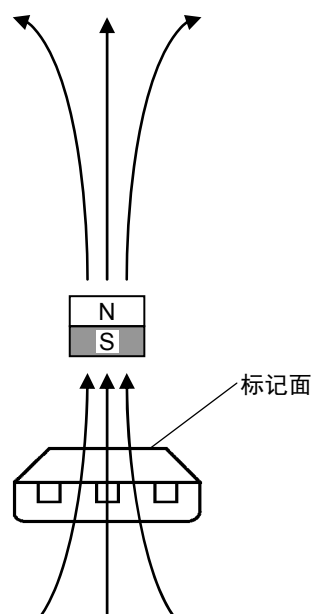


图11

2. 霍尔传感器位置

图12表示霍尔传感器的位置。

霍尔传感器的中心位置如下图所示，处于封装中央的标有圆形标记的范围内。

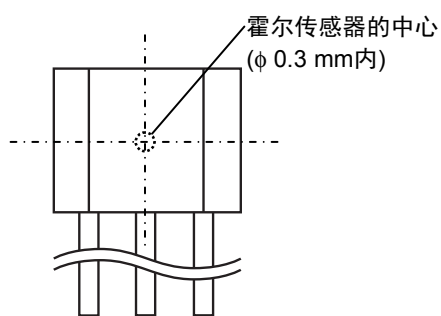


图12

3. 基本工作

本IC可通过磁石等所产生的磁束密度 (N极或S极) 的强弱以及极性变化来切换输出电压 (V_{OUT})。

3.1 检测S极时 $V_{OUT} = "L"$ 的产品

将磁石的S极靠近本IC的标记面，针对标记面，当垂直方向的S极的磁束密度超过工作点 (B_{OP}) 时， V_{OUT} 从 "H" 切换为 "L"。另外，将磁石的N极靠近本IC的标记面，当N极的磁束密度超过复位点 (B_{RP}) 时， V_{OUT} 从 "L" 切换为 "H"。若 $B_{RP} < B < B_{OP}$ ， V_{OUT} 会维持现状。

图13表示磁束密度与 V_{OUT} 之间的关系。

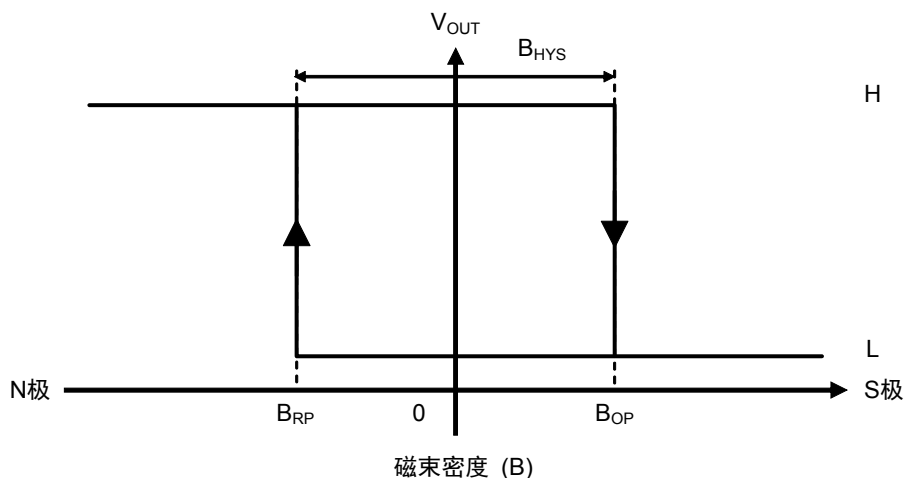


图13

3.2 检测S极时 $V_{OUT} = "H"$ 的产品

将磁石的S极靠近本IC的标记面，针对标记面，当垂直方向的S极的磁束密度超过 B_{OP} 时， V_{OUT} 从 "L" 切换为 "H"。另外，将磁石的N极靠近本IC的标记面，当N极的磁束密度超过 B_{RP} 时， V_{OUT} 从 "H" 切换为 "L"。若 $B_{RP} < B < B_{OP}$ ， V_{OUT} 会维持现状。

图14表示磁束密度与 V_{OUT} 之间的关系。

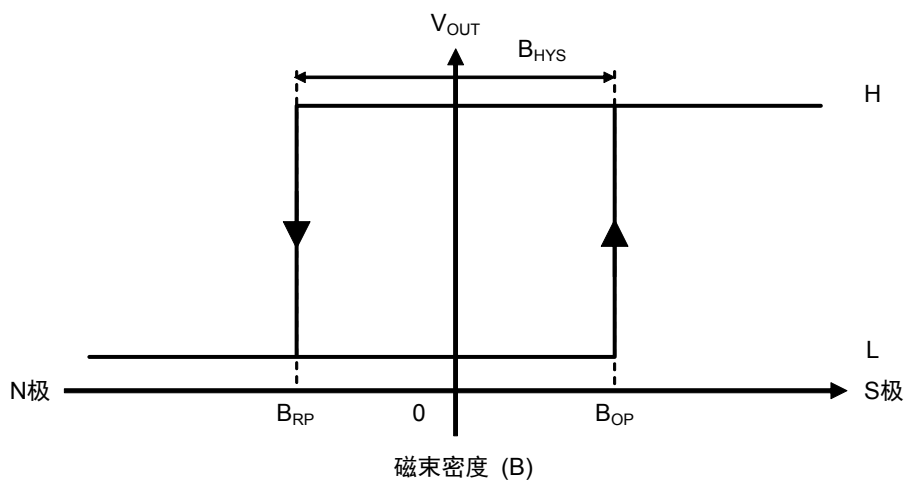


图14

4. 时序图

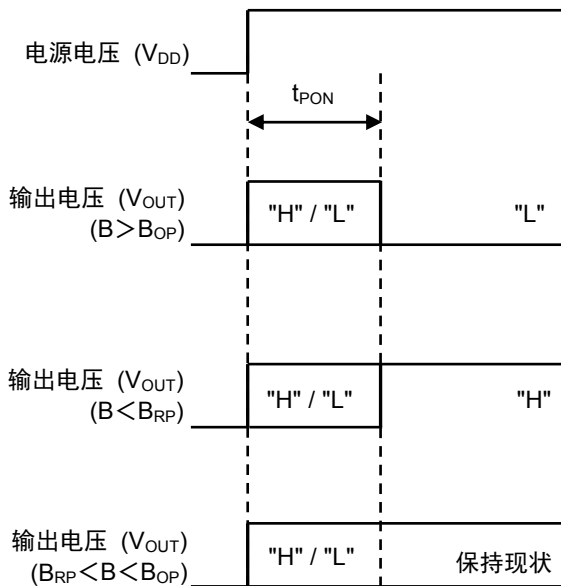
图15表示接通电源时的时序图。

电源电压 (V_{DD}) 上升时的初期输出电压为 "H" 或 "L"。

V_{DD} 上升后, 在经过了启动时间 (t_{PON}) 时, 若 $B > B_{OP}$ (工作点) 或 $B < B_{RP}$ (复位点), 本IC则根据外加磁束密度输出 V_{OUT} 。

V_{DD} 上升后, 在经过了 t_{PON} 时, 若 $B_{RP} < B < B_{OP}$, 本IC则保持初期输出电压。

检测S极时 $V_{OUT} = "L"$ 的产品



检测S极时 $V_{OUT} = "H"$ 的产品

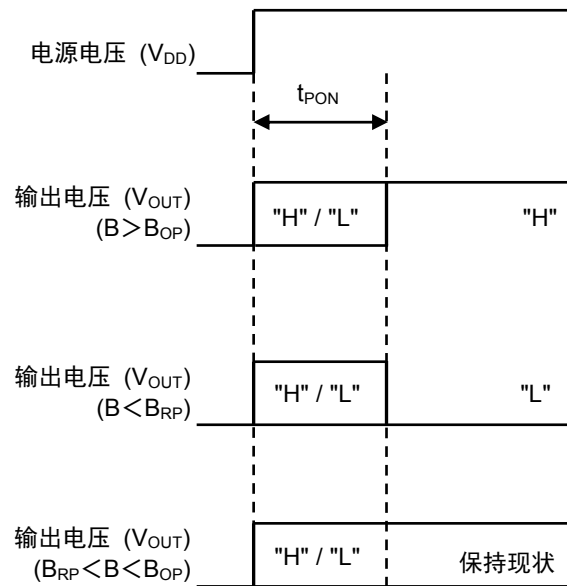


图15

■ 注意事项

- 如果将电源设置为高阻抗状态，有可能因击穿电流等而导致电源电压的下降，从而引发IC的误工作。因此，为降低阻抗，要充分注意接线方式。
- 请注意，如果电源电压发生急剧的变化，有可能导致IC的误工作。在电源电压发生急剧变化的环境下使用本IC时，推荐多次读出IC的输出电压来对其进行判定。
- 本IC虽内置防静电保护电路，但请不要对IC施加超过保护电路性能的过大静电。
- 请注意，本IC虽内置输出电流限制电路，在超过绝对定额值的环境下，有可能造成产品劣化等物理性损伤。
- 请注意电源电压、上拉电压、上拉电阻的使用条件，使IC内的功耗不要超过容许功耗。
- 若对此IC施加较大的应力，则可能导致磁特性发生改变。在安装到基板上时或安装后的操作过程中，也要注意不要对此IC施加较大的应力。
- 使用本公司的IC生产产品时，如因其产品中对该IC的使用方法或产品的规格，或因进口国等原因，使包括本IC产品在内的制品发生专利纠纷时，本公司概不承担相应责任。

■ 封装热特性

1. TO-92S

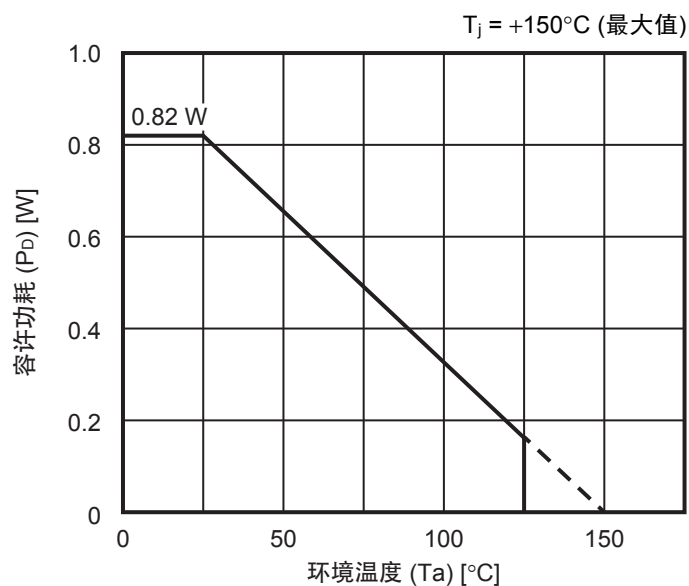
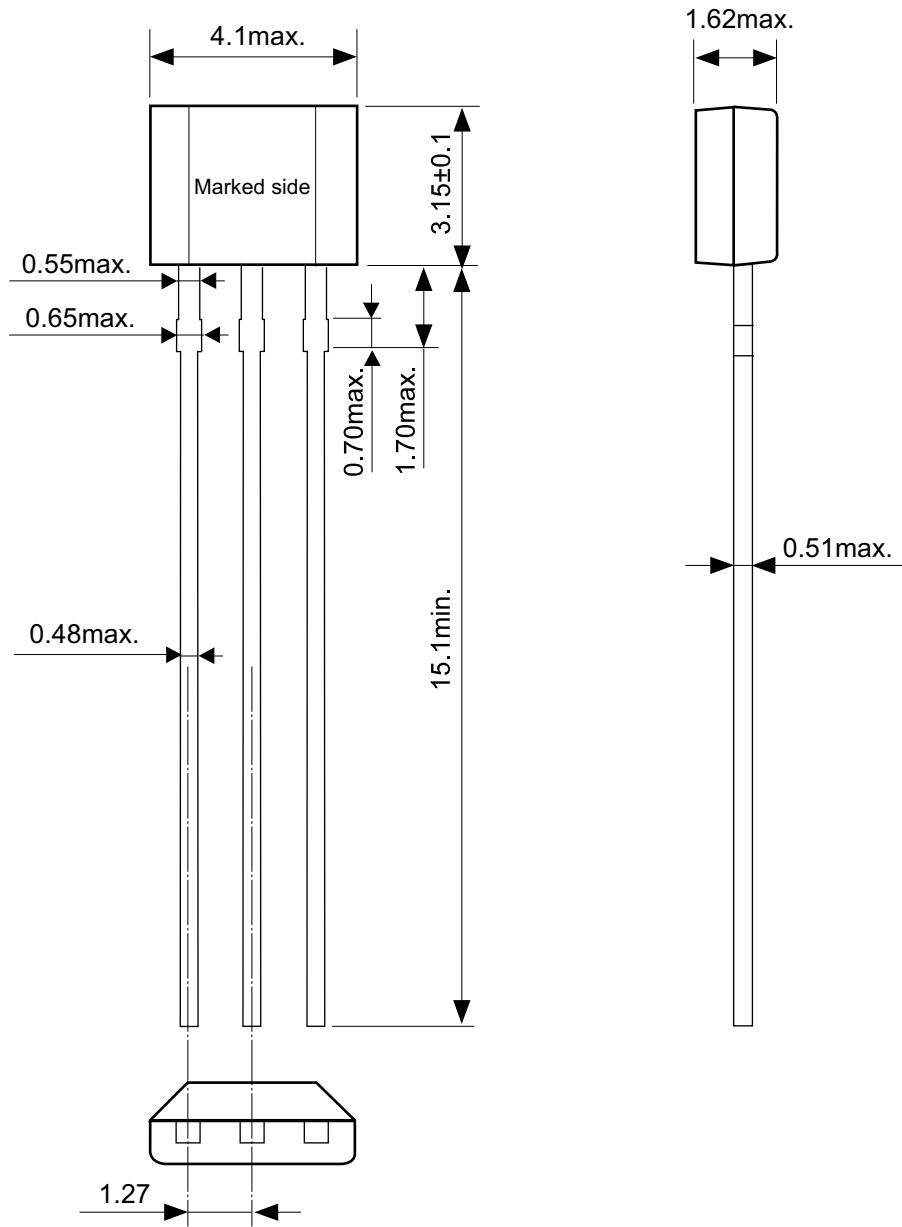
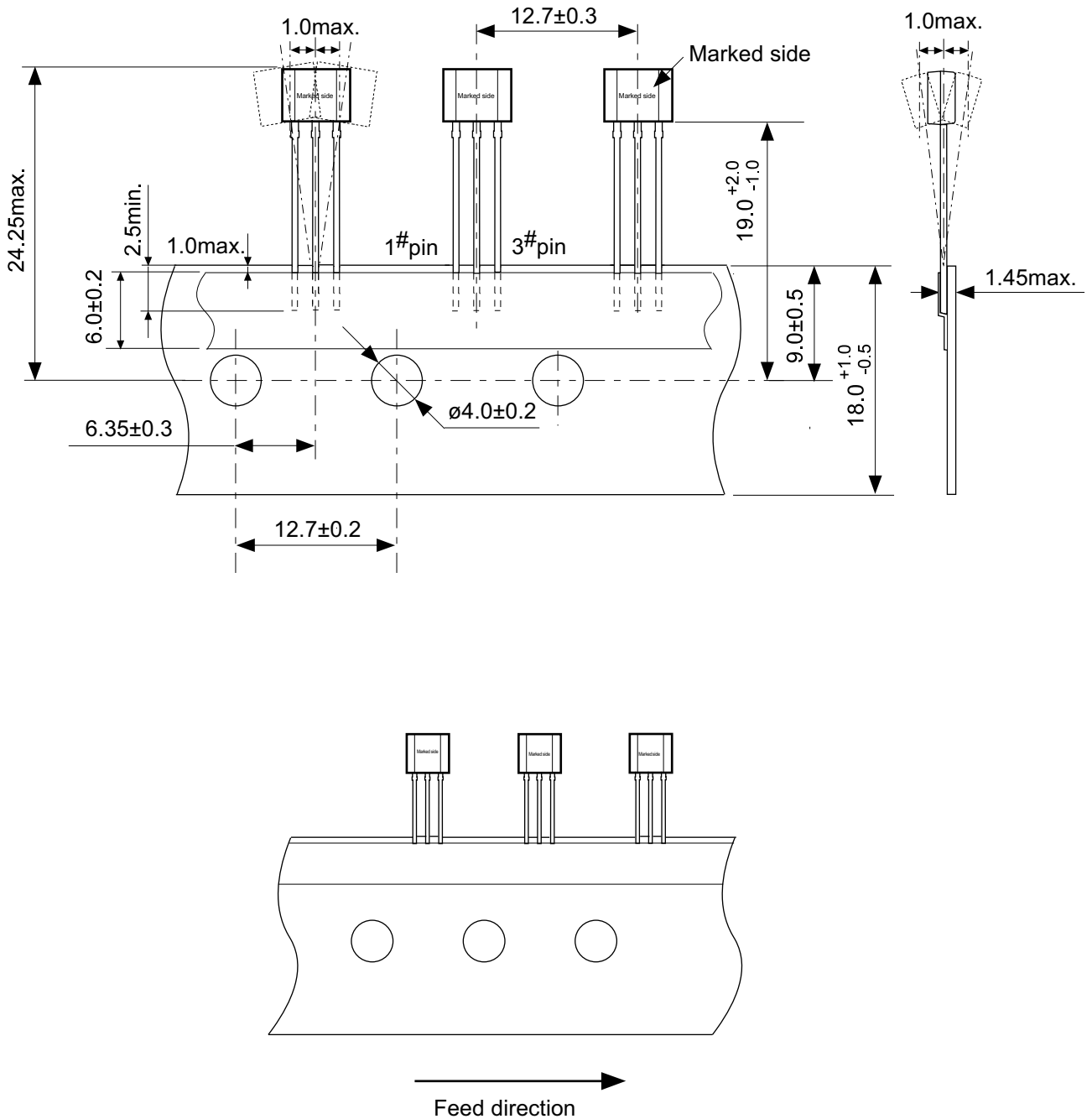


图16 封装容许功耗 (基板未安装时)



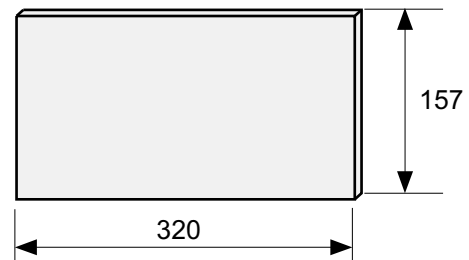
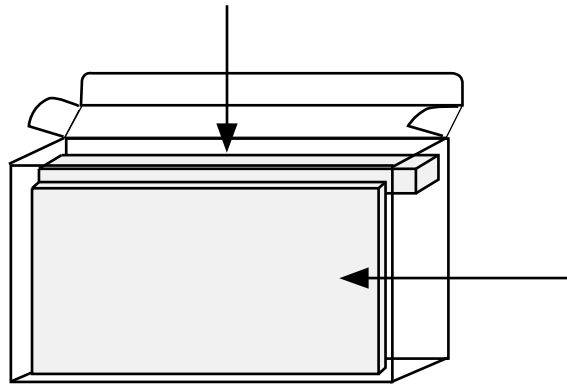
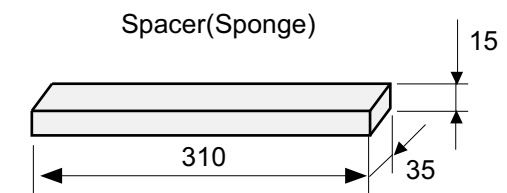
No. YB003-A-P-SD-1.0

TITLE	TO92S-C-PKG Dimensions
No.	YB003-A-P-SD-1.0
ANGLE	⊕ ↗
UNIT	mm
SII Semiconductor Corporation	

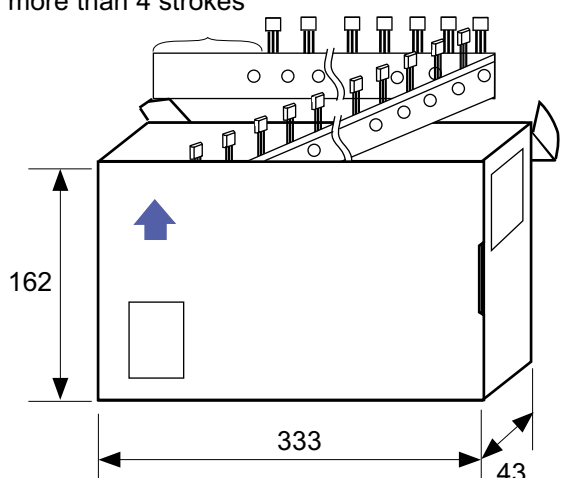


No. YC003-A-C-SD-1.1

TITLE	TO92S-E-Radial Tape
No.	YC003-A-C-SD-1.1
ANGLE	
UNIT	mm
	SII Semiconductor Corporation

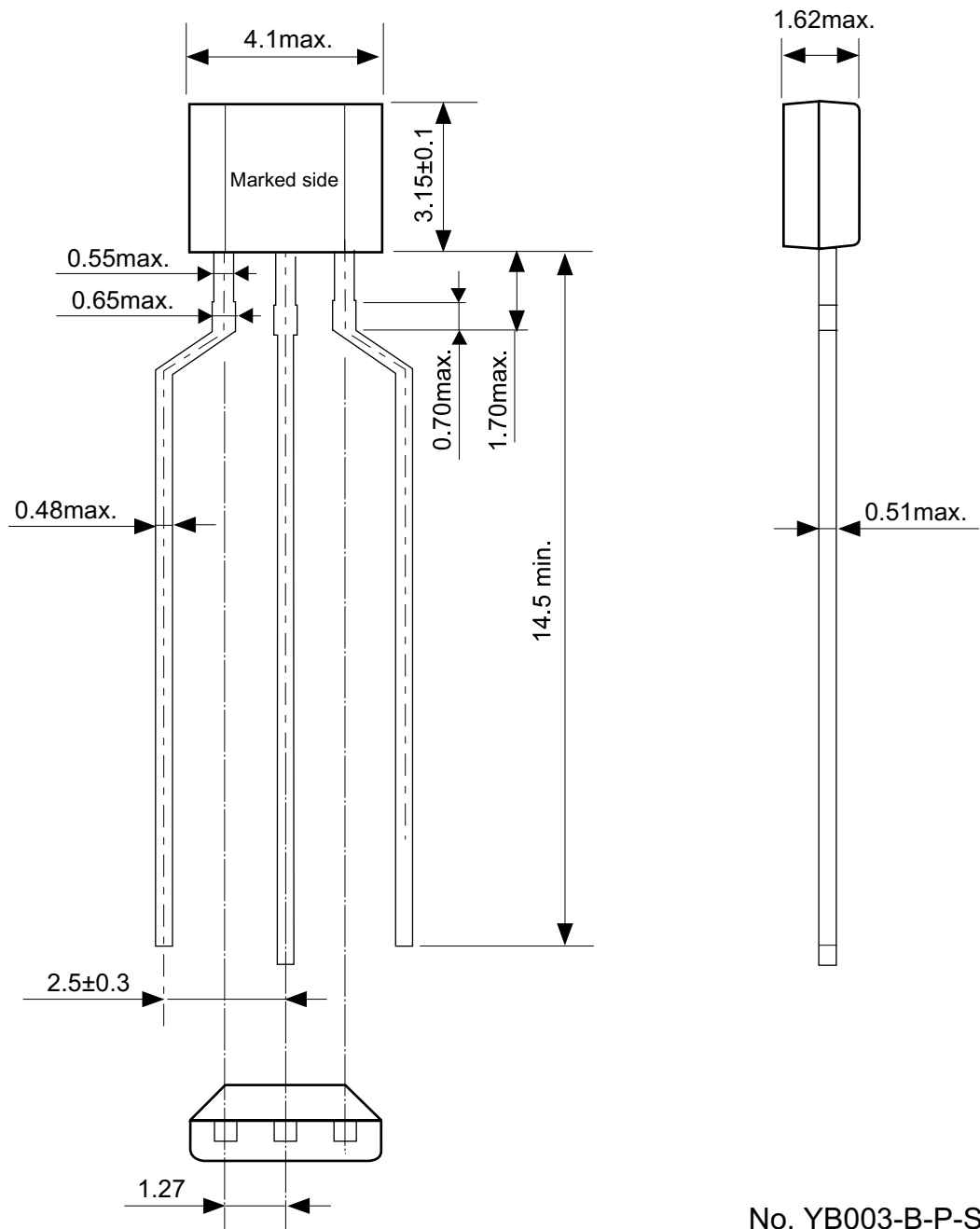


Space more than 4 strokes



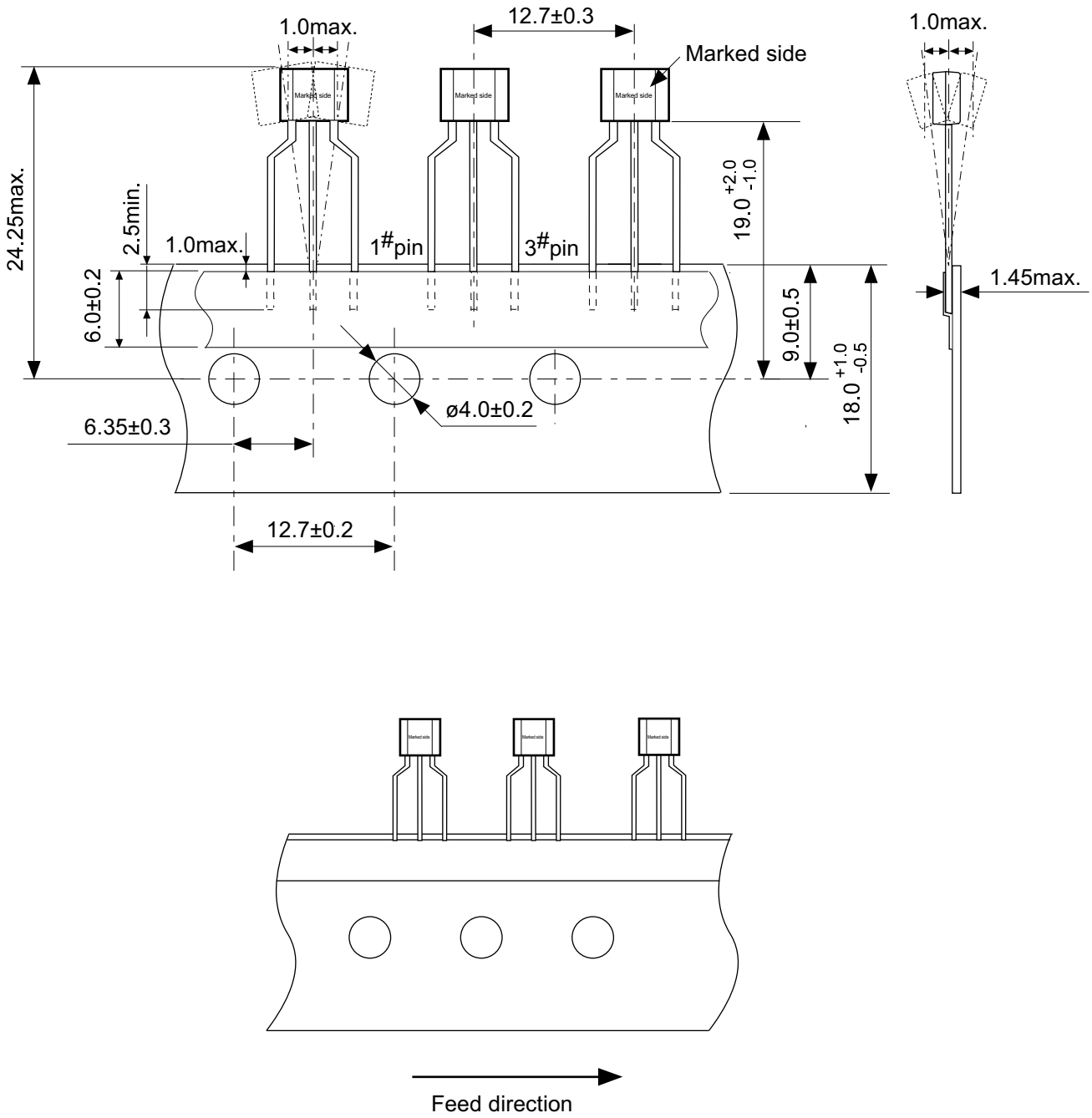
No. YC003-A-Z-SD-1.0

TITLE	TO92S-E-Ammo Packing		
No.	<u>YC003-A-Z-SD-1.0</u>		
ANGLE		QTY.	2,000
UNIT	mm		
SII Semiconductor Corporation			



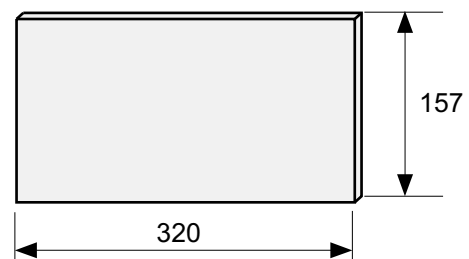
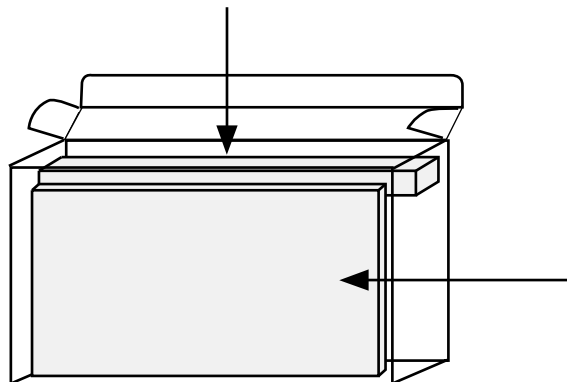
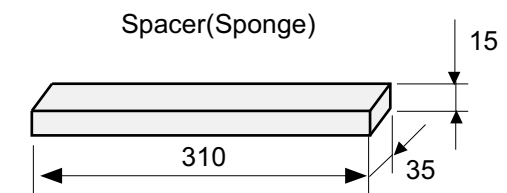
No. YB003-B-P-SD-1.0

TITLE	TO92S-D-PKG Dimensions
No.	YB003-B-P-SD-1.0
ANGLE	⊕ ↗
UNIT	mm
	SII Semiconductor Corporation

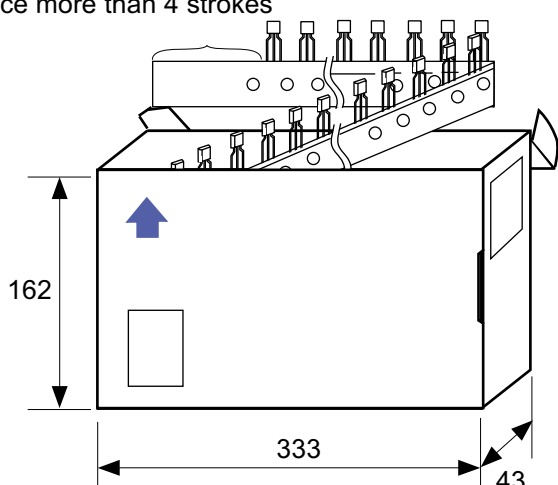


No. YC003-B-C-SD-1.1

TITLE	TO92S-F-Radial Tape
No.	YC003-B-C-SD-1.1
ANGLE	
UNIT	mm
SII Semiconductor Corporation	



Space more than 4 strokes



No. YC003-B-Z-SD-1.0

TITLE	TO92S-F-Ammo Packing		
No.	<u>YC003-B-Z-SD-1.0</u>		
ANGLE		QTY.	2,000
UNIT	mm		
SII Semiconductor Corporation			

免责事项 (使用注意事项)

1. 本资料记载的所有信息 (产品数据、规格、图、表、程序、算法、应用电路示例等) 是本资料公开时的最新信息，有可能未经预告而更改。
2. 本资料记载的电路示例、使用方法仅供参考，并非保证批量生产的设计。
使用本资料的信息后，发生并非因产品而造成的损害，或是发生对第三方知识产权等权利侵犯情况，本公司对此概不承担任何责任。
3. 因本资料记载的内容有说明错误而导致的损害，本公司对此概不承担任何责任。
4. 请注意在本资料记载的条件范围内使用产品，特别请注意绝对最大额定值、工作电压范围和电气特性等。
因在本资料记载的条件范围外使用产品而造成的故障和(或)事故等的损害，本公司对此概不承担任何责任。
5. 在使用本资料记载的产品时，请确认使用国家、地区以及用途的法律、法规，测试产品用途的满足能力和安全性能。
6. 本资料记载的产品出口海外时，请遵守外汇交易及外国贸易法等的出口法令，办理必要的相关手续。
7. 严禁将本资料记载的产品用于以及提供(出口)于开发大规模杀伤性武器或军事用途。对于如提供(出口)给开发、制造、使用或储藏核武器、生物武器、化学武器及导弹，或有其他军事目的者的情况，本公司对此概不承担任何责任。
8. 本资料记载的产品并非是设计用于可能对人体、生命及财产造成损失的设备或装置的部件(医疗设备、防灾设备、安全防范设备、燃料控制设备、基础设施控制设备、车辆设备、交通设备、车载设备、航空设备、太空设备及核能设备等)。本公司指定的车载用途例外。上述用途未经本公司的书面许可不得使用。本资料所记载的产品不能用于生命维持装置、植入人体使用的设备等直接影响人体生命的设备。考虑使用于上述用途时，请务必事先与本公司营业部门商谈。
本公司指定用途以外使用本资料记载的产品而导致的损害，本公司对此概不承担任何责任。
9. 半导体产品可能有一定的概率发生故障或误工作。
为了防止因本公司产品的故障或误工作而导致的人身事故、火灾事故、社会性损害等，请客户自行负责进行冗长设计、防止火势蔓延措施、防止误工作等安全设计。并请对整个系统进行充分的评价，客户自行判断适用的可否。
10. 本资料记载的产品非耐放射线设计产品。请客户根据用途，在产品设计的过程中采取放射线防护措施。
11. 本资料记载的产品在一般的使用条件下，不会影响人体健康，但因含有化学物质和重金属，所以请不要将其放入口中。
另外，晶元和芯片的破裂面可能比较尖锐，徒手接触时请注意防护，以免受伤等。
12. 废弃本资料记载的产品时，请遵守使用国家和地区的法令，合理地处理。
13. 本资料中也包含了与本公司的著作权和专有知识有关的内容。
本资料记载的内容并非是对本公司或第三方的知识产权、其它权利的实施及使用的承诺或保证。严禁在未经本公司许可的情况下转载或复制这些著作物的一部分，向第三方公开。
14. 有关本资料的详细内容，请向本公司营业部门咨询。

1.0-2016.01